

Résolution de problèmes d'optimisation non linéaire: IpOpt (Interior Point OPTimizer)

T. Haberkorn¹

¹MAPMO
Université d'Orléans

12^{ème} journée CASCIMODOT, 1^{er} Juillet 2010



Forme générale

- *IpOpt* sert à trouver un minimum (local) de problèmes d'optimisation de la forme:

$$\begin{cases} \min_{x \in \mathbb{R}^n} f(x) \\ \text{tq.} & g_L \leq g(x) \leq g_U \\ & x_L \leq x \leq x_U \end{cases}$$

avec $f(\cdot)$ et $g(\cdot)$ des fonctions \mathcal{C}^2 ,

- f est la fonction objectif,
- g correspond aux contraintes (linéaires et non linéaires) d'inégalités et d'égalités (si $g_l = g_u$),
- x_l et x_u sont des contraintes de boîtes,
- fait pour des problèmes de grande dimension



Un exemple élémentaire

Le problème

$$\left\{ \begin{array}{l} \min_{x \in \mathbb{R}^2} f(x) = -(x_2 - 2)^2 \\ tq \\ x_1^2 + x_2 - 1 = 0 \\ -1 \leq x_1 \leq 1 \end{array} \right.$$

Différentes implémentations

- En C++ ou Fortran, on définit le problème d'optimisation en donnant sa taille, ses contraintes de boîtes et diverses fonctions/procédures (objectif, contraintes, gradients, Hesse ou du Lagrangien).
- Définir sous Amalgun (langage de modélisation) permet une séparation



Un exemple élémentaire

Le problème

$$\left\{ \begin{array}{l} \min_{x \in \mathbb{R}^2} f(x) = -(x_2 - 2)^2 \\ \text{tq} \\ x_1^2 + x_2 - 1 = 0 \\ -1 \leq x_1 \leq 1 \end{array} \right.$$

Différentes implémentations

- En *C++* ou *fortran*, on définit le problème d'optimisation en donnant sa taille, ses contraintes de boîtes et diverses fonctions/procédures (objectif, contraintes, gradients, Hessien du Lagrangien).
- Définition sous *Ampl* (un langage de modélisation) suivant une sémantique spécifique.



Un exemple élémentaire

Le problème

$$\left\{ \begin{array}{l} \min_{x \in \mathbb{R}^2} f(x) = -(x_2 - 2)^2 \\ \text{tq} \\ x_1^2 + x_2 - 1 = 0 \\ -1 \leq x_1 \leq 1 \end{array} \right.$$

Différentes implémentations

- En *C++* ou *fortran*, on définit le problème d'optimisation en donnant sa taille, ses contraintes de boîtes et diverses fonctions/procédures (objectif, contraintes, gradients, Hessien du Lagrangien).
- Définition sous *Ampl* (un langage de modélisation) suivant une sémantique spécifique.



Utilisation avec C++ (1)

- Tout se trouve dans une classe *MyNLP*.

Tailles du problème

```
bool MyNLP::get_nlp_info(Index& n, Index& m, Index& nnz_jac_g,
                        Index& nnz_h_lag, IndexStyleEnum& index_style){
n = 2; // nombre de variables
m = 1; // nombre de contraintes
nnz_jac_g = 2; // nombre d'el. non nuls du Jacobien des contraintes
```

Bornes sur les contraintes et les boîtes

```
bool MyNLP::get_bounds_info(Index n, Number* x_l, Number* x_u,
                            Index m, Number* g_l, Number* g_u){
x_l[0] = -1.0; x_u[0] = 1.0; // boîte sur x1
x_l[1] = -1.0e19; x_u[1] = +1.0e19; // rien sur x2
g_l[0] = g_u[0] = 0.0; // la seule contrainte est = 0
```

Initialisation

```
bool MyNLP::get_starting_point(Index n, bool init_x, Number* x,
                               bool init_z, Number* z_l, Number* z_u, Index m,
                               bool init_lambda, Number* lambda){
x[0] = 0.5; x[1] = 1.5; // init des 2 parametres
// possibilite d'init des multiplicateurs et autres var. de l'algo
```



Denis Polson



Utilisation avec C++ (1)

- Tout se trouve dans une classe *MyNLP*.

Tailles du problème

```
bool MyNLP::get_nlp_info(Index& n, Index& m, Index& nnz_jac_g,
                        Index& nnz_h_lag, IndexStyleEnum& index_style){
n = 2; // nombre de variables
m = 1; // nombre de contraintes
nnz_jac_g = 2; // nombre d'el. non nuls du Jacobien des contraintes
```

Bornes sur les contraintes et les boîtes

```
bool MyNLP::get_bounds_info(Index n, Number* x_l, Number* x_u,
                            Index m, Number* g_l, Number* g_u){
x_l[0] = -1.0; x_u[0] = 1.0; // boîte sur x1
x_l[1] = -1.0e19; x_u[1] = +1.0e19; // rien sur x2
g_l[0] = g_u[0] = 0.0; // la seule contrainte est = 0
```

Initialisation

```
bool MyNLP::get_starting_point(Index n, bool init_x, Number* x,
                               bool init_z, Number* z_L, Number* z_U, Index m,
                               bool init_lambda, Number* lambda){
x[0] = 0.5; x[1] = 1.5; // init des 2 parametres
// possibilite d'init des multiplicateurs et autres var. de l'algo
```



Denis Polson



Utilisation avec C++ (1)

- Tout se trouve dans une classe *MyNLP*.

Tailles du problème

```
bool MyNLP::get_nlp_info(Index& n, Index& m, Index& nnz_jac_g,
                        Index& nnz_h_lag, IndexStyleEnum& index_style){
n = 2; // nombre de variables
m = 1; // nombre de contraintes
nnz_jac_g = 2; // nombre d'el. non nuls du Jacobien des contraintes
```

Bornes sur les contraintes et les boîtes

```
bool MyNLP::get_bounds_info(Index n, Number* x_l, Number* x_u,
                            Index m, Number* g_l, Number* g_u){
x_l[0] = -1.0; x_u[0] = 1.0; // boîte sur x1
x_l[1] = -1.0e19; x_u[1] = +1.0e19; // rien sur x2
g_l[0] = g_u[0] = 0.0; // la seule contrainte est = 0
```

Initialisation

```
bool MyNLP::get_starting_point(Index n, bool init_x, Number* x,
                               bool init_z, Number* z_L, Number* z_U, Index m,
                               bool init_lambda, Number* lambda){
x[0] = 0.5; x[1] = 1.5; // init des 2 parametres
// possibilite d'init des multiplicateurs et autres var. de l'algo
```



Denis Polson



Utilisation avec C++ (1)

- Tout se trouve dans une classe *MyNLP*.

Tailles du problème

```
bool MyNLP::get_nlp_info(Index& n, Index& m, Index& nnz_jac_g,
                        Index& nnz_h_lag, IndexStyleEnum& index_style){
n = 2; // nombre de variables
m = 1; // nombre de contraintes
nnz_jac_g = 2; // nombre d'el. non nuls du Jacobien des contraintes
```

Bornes sur les contraintes et les boîtes

```
bool MyNLP::get_bounds_info(Index n, Number* x_l, Number* x_u,
                            Index m, Number* g_l, Number* g_u){
x_l[0] = -1.0; x_u[0] = 1.0; // boîte sur x1
x_l[1] = -1.0e19; x_u[1] = +1.0e19; // rien sur x2
g_l[0] = g_u[0] = 0.0; // la seule contrainte est = 0
```

Initialisation

```
bool MyNLP::get_starting_point(Index n, bool init_x, Number* x,
                               bool init_z, Number* z_L, Number* z_U, Index m,
                               bool init_lambda, Number* lambda){
x[0] = 0.5; x[1] = 1.5; // init des 2 parametres
// possibilite d'init des multiplicateurs et autres var. de l'algo
```



Denis Polson



Utilisation avec C++ (2)

Objectif

```
bool MyNLP::eval_f(Index n, const Number* x, bool new_x, Number& obj_value)
{ obj_value = -(x[1] - 2.0) * (x[1] - 2.0); ... }
```

Gradient objectif

```
bool MyNLP::eval_grad_f(Index n, const Number* x, bool new_x, Number* grad_f)
{ grad_f[0] = 0.0; grad_f[1] = -2.0*(x[1] - 2.0); }
```

Contrainte

```
bool MyNLP::eval_g(Index n, const Number* x, bool new_x, Index m, Number* g)
{ g[0] = -(x[0]*x[0] + x[1] - 1.0); ... }
```

Gradient des contraintes

```
bool MyNLP::eval_jac_g(Index n, const Number* x, bool new_x, Index m,
    Index nele_jac, Index* iRow, Index* jCol,
    Number* values){
    if (values == NULL) { // complete iRow[] et jCol[] pour creux
    else {values[0] = -2.0 * x[0]; values[1] = -1.0; } ... }
```

Idem pour le Hessien `bool MyNLP::eval_h(...)`

Post-traitement de la solution

```
void MyNLP::finalize_solution(...){
    // par exemple, écriture dans un fichier ou affichage ... }
```



Denis Polson



Utilisation avec C++ (2)

Objectif

```
bool MyNLP::eval_f(Index n, const Number* x, bool new_x, Number& obj_value)
{ obj_value = -(x[1] - 2.0) * (x[1] - 2.0); ... }
```

Gradient objectif

```
bool MyNLP::eval_grad_f(Index n, const Number* x, bool new_x, Number* grad_f)
{ grad_f[0] = 0.0; grad_f[1] = -2.0*(x[1] - 2.0); }
```

Contrainte

```
bool MyNLP::eval_g(Index n, const Number* x, bool new_x, Index m, Number* g)
{ g[0] = -(x[0]*x[0] + x[1] - 1.0); ... }
```

Gradient des contraintes

```
bool MyNLP::eval_jac_g(Index n, const Number* x, bool new_x, Index m,
    Index nele_jac, Index* iRow, Index *jCol,
    Number* values){
    if (values == NULL) { // complete iRow[] et jCol[] pour creux }
    else { values[0] = -2.0 * x[0]; values[1] = -1.0; } ... }
    Idem pour le Hessien bool MyNLP::eval_h(...)
```

Post-traitement de la solution

```
void MyNLP::finalize_solution(...){
    // par exemple, ecriture dans un fichier ou affichage ... }
```



Utilisation avec C++ (2)

Objectif

```
bool MyNLP::eval_f(Index n, const Number* x, bool new_x, Number& obj_value)
{ obj_value = -(x[1] - 2.0) * (x[1] - 2.0); ... }
```

Gradient objectif

```
bool MyNLP::eval_grad_f(Index n, const Number* x, bool new_x, Number* grad_f)
{ grad_f[0] = 0.0; grad_f[1] = -2.0*(x[1] - 2.0); }
```

Contrainte

```
bool MyNLP::eval_g(Index n, const Number* x, bool new_x, Index m, Number* g)
{ g[0] = -(x[0]*x[0] + x[1] - 1.0); ... }
```

Gradient des contraintes

```
bool MyNLP::eval_jac_g(Index n, const Number* x, bool new_x, Index m,
    Index nele_jac, Index* iRow, Index *jCol,
    Number* values){
    if (values == NULL) { // complete iRow[] et jCol[] pour creux }
    else {values[0] = -2.0 * x[0]; values[1] = -1.0;} ... }
    Idem pour le Hessien bool MyNLP::eval_h(...)
```

Post-traitement de la solution

```
void MyNLP::finalize_solution(...){
    // par exemple, ecriture dans un fichier ou affichage ... }
```



Utilisation avec C++ (2)

Objectif

```
bool MyNLP::eval_f(Index n, const Number* x, bool new_x, Number& obj_value)
{ obj_value = -(x[1] - 2.0) * (x[1] - 2.0); ... }
```

Gradient objectif

```
bool MyNLP::eval_grad_f(Index n, const Number* x, bool new_x, Number* grad_f)
{ grad_f[0] = 0.0; grad_f[1] = -2.0*(x[1] - 2.0); }
```

Contrainte

```
bool MyNLP::eval_g(Index n, const Number* x, bool new_x, Index m, Number* g)
{ g[0] = -(x[0]*x[0] + x[1] - 1.0); ... }
```

Gradient des contraintes

```
bool MyNLP::eval_jac_g(Index n, const Number* x, bool new_x, Index m,
                      Index nele_jac, Index* iRow, Index *jCol,
                      Number* values){
if (values == NULL) { // complete iRow[] et jCol[] pour creux
else {values[0] = -2.0 * x[0]; values[1] = -1.0;} ... }
```

Idem pour le Hessien `bool MyNLP::eval_h(...)`

Post-traitement de la solution

```
void MyNLP::finalize_solution(...){
// par exemple, ecriture dans un fichier ou affichage ... }
```



Denis Polson



Utilisation avec C++ (2)

Objectif

```
bool MyNLP::eval_f(Index n, const Number* x, bool new_x, Number& obj_value)
{ obj_value = -(x[1] - 2.0) * (x[1] - 2.0); ... }
```

Gradient objectif

```
bool MyNLP::eval_grad_f(Index n, const Number* x, bool new_x, Number* grad_f)
{ grad_f[0] = 0.0; grad_f[1] = -2.0*(x[1] - 2.0); }
```

Contrainte

```
bool MyNLP::eval_g(Index n, const Number* x, bool new_x, Index m, Number* g)
{ g[0] = -(x[0]*x[0] + x[1] - 1.0); ... }
```

Gradient des contraintes

```
bool MyNLP::eval_jac_g(Index n, const Number* x, bool new_x, Index m,
                      Index nele_jac, Index* iRow, Index *jCol,
                      Number* values){
if (values == NULL) { // complete iRow[] et jCol[] pour creux
else {values[0] = -2.0 * x[0]; values[1] = -1.0;} ... }
```

Idem pour le Hessien `bool MyNLP::eval_h(...)`

Post-traitement de la solution

```
void MyNLP::finalize_solution(...){
// par exemple, ecriture dans un fichier ou affichage ... }
```



Utilisation avec *Ampl*

Définition 'naturelle' du problème

```
# declaration variable + boite + init
var x1 >= 1, <= -1, default 0.5;
var x2 default 1.5;

# objectif
minimize f: -(x2-2)^2;

# contrainte(s)
subject to g: x1^2 + x2 - 1 = 0;

# eventuellement initialisation particuliere (lecture fichier, calculs...)

# instruction d'appel du solveur + quelques options
option solver ipopt;
option ipopt_options "imaxiter=1000 dtol=1.e-12 iscale=2 dfillinfact=2";

# appel du solveur
solve;

# post traitement
printf: " x1 = %24.16e\n", x1 > out.dat; # dans un fichier
printf: " x2 = %24.16e\n", x2; # a l'ecran
```

- Puis appel depuis l'exécutible *Ampl*.



Utilisation avec *Ampl*

Définition 'naturelle' du problème

```
# declaration variable + boite + init
var x1 >= 1, <= -1, default 0.5;
var x2 default 1.5;

# objectif
minimize f: -(x2-2)^2;

# contrainte(s)
subject to g: x1^2 + x2 - 1 = 0;

# eventuellement initialisation particuliere (lecture fichier, calculs...)

# instruction d'appel du solveur + quelques options
option solver ipopt;
option ipopt_options "imaxiter=1000 dtol=1.e-12 iscale=2 dfillinfact=2";

# appel du solveur
solve;

# post traitement
printf: " x1 = %24.16e\n", x1 > out.dat; # dans un fichier
printf: " x2 = %24.16e\n", x2; # a l'ecran
```

- Puis appel depuis l'exécutible *Ampl*.



Algorithme : Réécriture et barrière

- Les inégalités $g_i^L \leq g_i(x) \leq g_i^U$ sont remplacées par:

$$g_i(x) - s_i = 0, \quad g_i^L \leq s_i \leq g_i^U,$$

avec s_i une nouvelle variable (variable d'écart).

- On réécrit le problème d'optimisation sous forme de contraintes d'égalités:

$$\begin{cases} \min_{x \in \mathbb{R}^n} f(x) \\ \text{tq.} & c(x) = 0 \\ & x_L \leq x \leq x_U \end{cases}$$

où x est augmentée des variables d'écart.

- Puis on introduit les barrières logarithmiques:

$$\begin{cases} \min_{x \in \mathbb{R}^n} \mu \ln(c(x)) = f(x) - \mu \sum_{i=1}^m \ln(a_i - x_i) - \mu \sum_{i=1}^m \ln(x_i - b_i) \\ \text{tq.} & c(x) = 0 \end{cases}$$



Algorithme : Réécriture et barrière

- Les inégalités $g_i^L \leq g_i(x) \leq g_i^U$ sont remplacées par:

$$g_i(x) - s_i = 0, \quad g_i^L \leq s_i \leq g_i^U,$$

avec s_i une nouvelle variable (variable d'écart).

- On réécrit le problème d'optimisation sous forme de contraintes d'égalités:

$$\begin{cases} \min_{x \in \mathbb{R}^n} f(x) \\ \text{tq.} & c(x) = 0 \\ & x_L \leq x \leq x_U \end{cases}$$

où x est augmentée des variables d'écart.

- Puis on introduit les barrières logarithmiques:

$$\begin{cases} \min_{x, s} f(x) - \mu \sum_{i=1}^m \ln(s_i) - \mu \sum_{i=1}^n \ln(x_i - x_{iL}) - \mu \sum_{i=1}^n \ln(x_{iU} - x_i) \\ \text{tq.} & c(x) = 0 \end{cases}$$



Algorithme : Réécriture et barrière

- Les inégalités $g_i^L \leq g_i(x) \leq g_i^U$ sont remplacées par:

$$g_i(x) - s_i = 0, \quad g_i^L \leq s_i \leq g_i^U,$$

avec s_i une nouvelle variable (variable d'écart).

- On réécrit le problème d'optimisation sous forme de contraintes d'égalités:

$$\begin{cases} \min_{x \in \mathbb{R}^n} f(x) \\ \text{tq. } c(x) = 0 \\ x_L \leq x \leq x_U \end{cases}$$

où x est augmentée des variables d'écarts.

- Puis on introduit les barrières logarithmiques:

$$\begin{cases} \min_{x \in \mathbb{R}^n} \varphi_\mu(x) = f(x) - \mu \sum_{i=1}^n \ln(x_i - x_{L_i}) - \mu \sum_{i=1}^n \ln(x_{U_i} - x_i) \\ \text{tq. } c(x) = 0 \end{cases}$$



Algorithmes : Pas primal-dual

Une fois la réécriture effectuée on procède en gros comme suit:

- 1 On se choisit un paramètre de pénalisation μ .
- 2 On applique les conditions nécessaires du premier ordre au problème réécrit \Rightarrow se traduisent par un système d'équations non linéaires à résoudre.
- 3 Une méthode de type Newton est utilisée, dans laquelle on va calculer une direction pour améliorer la variable x et une pour les multiplicateurs de Lagrange λ .
- 4 On calcule ensuite indépendamment un pas sur x et un sur λ .
- 5 On ré-itére Newton jusqu'à avoir une solution satisfaisant les conditions du premier ordre avec une précision donnée.
- 6 On diminue μ et on recommence.



Algorithme : Pas primal-dual

Une fois la réécriture effectuée on procède en gros comme suit:

- 1 On se choisit un paramètre de pénalisation μ .
- 2 On applique les conditions nécessaires du premier ordre au problème réécrit \Rightarrow se traduisent par un système d'équations non linéaires à résoudre.
- 3 Une méthode de type Newton est utilisée, dans laquelle on va calculer une direction pour améliorer la variable x et une pour les multiplicateurs de Lagrange λ .
- 4 On calcule ensuite indépendamment un pas sur x et un sur λ .
- 5 On ré-itére Newton jusqu'à avoir une solution satisfaisant les conditions du premier ordre avec une précision donnée.
- 6 On diminue μ et on recommence.



Algorithme : Pas primal-dual

Une fois la réécriture effectuée on procède en gros comme suit:

- 1 On se choisit un paramètre de pénalisation μ .
- 2 On applique les conditions nécessaires du premier ordre au problème réécrit \Rightarrow se traduisent par un système d'équations non linéaires à résoudre.
- 3 Une méthode de type Newton est utilisée, dans laquelle on va calculer une direction pour améliorer la variable x et une pour les multiplicateurs de Lagrange λ .
- 4 On calcule ensuite indépendamment un pas sur x et un sur λ .
- 5 On ré-itére Newton jusqu'à avoir une solution satisfaisant les conditions du premier ordre avec une précision donnée.
- 6 On diminue μ et on recommence.



Algorithme : Pas primal-dual

Une fois la réécriture effectuée on procède en gros comme suit:

- 1 On se choisit un paramètre de pénalisation μ .
- 2 On applique les conditions nécessaires du premier ordre au problème réécrit \Rightarrow se traduisent par un système d'équations non linéaires à résoudre.
- 3 Une méthode de type Newton est utilisée, dans laquelle on va calculer une direction pour améliorer la variable x et une pour les multiplicateurs de Lagrange λ .
- 4 On calcule ensuite indépendamment un pas sur x et un sur λ .
- 5 On ré-itére Newton jusqu'à avoir une solution satisfaisant les conditions du premier ordre avec une précision donnée.
- 6 On diminue μ et on recommence.



Algorithme : Pas primal-dual

Une fois la réécriture effectuée on procède en gros comme suit:

- 1 On se choisit un paramètre de pénalisation μ .
- 2 On applique les conditions nécessaires du premier ordre au problème réécrit \Rightarrow se traduisent par un système d'équations non linéaires à résoudre.
- 3 Une méthode de type Newton est utilisée, dans laquelle on va calculer une direction pour améliorer la variable x et une pour les multiplicateurs de Lagrange λ .
- 4 On calcule ensuite indépendamment un pas sur x et un sur λ .
- 5 On ré-itére Newton jusqu'à avoir une solution satisfaisant les conditions du premier ordre avec une précision donnée.
- 6 On diminue μ et on recommence.



Algorithmes : Pas primal-dual

Une fois la réécriture effectuée on procède en gros comme suit:

- 1 On se choisit un paramètre de pénalisation μ .
- 2 On applique les conditions nécessaires du premier ordre au problème réécrit \Rightarrow se traduisent par un système d'équations non linéaires à résoudre.
- 3 Une méthode de type Newton est utilisée, dans laquelle on va calculer une direction pour améliorer la variable x et une pour les multiplicateurs de Lagrange λ .
- 4 On calcule ensuite indépendamment un pas sur x et un sur λ .
- 5 On ré-itére Newton jusqu'à avoir une solution satisfaisant les conditions du premier ordre avec une précision donnée.
- 6 On diminue μ et on recommence.



Comment se procurer IpOpt

Lien

le code source d'*IpOpt* est disponible à sur la page du projet *COIN-OR*:

<https://projects.coin-or.org/Ipopt>

Installation

- 1 Télécharger le code source d'*IpOpt*,
- 2 Télécharger les composantes tierces (scripts dispos pour ftp anonyme),
- 3 Compiler le tout avec votre compilateur C++ et fortran favori,
- 4 C'est fini.

NEOS

Serveur d'optimisation regroupant un grand nombre de logiciels d'optimisation:

<http://www-neos.mcs.anl.gov/> ⇒ exécuter codes Ampl/Gamms sur machine distante avec divers logiciels



A. Wächter and L. T. Biegler, *On the Implementation of a Primal-Dual Interior Point Filter Line Search Algorithm for Large-Scale Nonlinear Programming*, *Mathematical Programming* 106(1), pp. 25-57, 2006.



Denis Polson



Comment se procurer IpOpt

Lien

le code source d'*IpOpt* est disponible à sur la page du projet *COIN-OR*:

<https://projects.coin-or.org/Ipopt>

Installation

- 1 Télécharger le code source d'*IpOpt*,
- 2 Télécharger les composantes tierces (scripts dispos pour ftp anonyme),
- 3 Compiler le tout avec votre compilateur C++ et fortran favori,
- 4 C'est fini.

NEOS

Serveur d'optimisation regroupant un grand nombre de logiciels d'optimisation:

<http://www-neos.mcs.anl.gov/> ⇒ exécuter codes Ampl/Gamms sur machine distante avec divers logiciels



A. Wächter and L. T. Biegler, *On the Implementation of a Primal-Dual Interior Point Filter Line Search Algorithm for Large-Scale Nonlinear Programming*, *Mathematical Programming* 106(1), pp. 25-57, 2006.



Denis Polson



Comment se procurer IpOpt

Lien

le code source d'*IpOpt* est disponible à sur la page du projet *COIN-OR*:

<https://projects.coin-or.org/Ipopt>

Installation

- 1 Télécharger le code source d'*IpOpt*,
- 2 Télécharger les composantes tierces (scripts dispos pour ftp anonyme),
- 3 Compiler le tout avec votre compilateur C++ et fortran favori,
- 4 C'est fini.

NEOS

Serveur d'optimisation regroupant un grand nombre de logiciels d'optimisation:

<http://www-neos.mcs.anl.gov/> ⇒ exécuter codes Ampl/Gamms sur machine distante avec divers logiciels



A. Wächter and L. T. Biegler, *On the Implementation of a Primal-Dual Interior Point Filter Line Search Algorithm for Large-Scale Nonlinear Programming*, *Mathematical Programming* 106(1), pp. 25-57, 2006.



Denis Polson



Comment se procurer IpOpt

Lien

le code source d'*IpOpt* est disponible à sur la page du projet *COIN-OR*:

<https://projects.coin-or.org/Ipopt>

Installation

- 1 Télécharger le code source d'*IpOpt*,
- 2 Télécharger les composantes tierces (scripts dispos pour ftp anonyme),
- 3 Compiler le tout avec votre compilateur C++ et fortran favori,
- 4 C'est fini.

NEOS

Serveur d'optimisation regroupant un grand nombre de logiciels d'optimisation:

<http://www-neos.mcs.anl.gov/> ⇒ exécuter codes Ampl/Gamms sur machine distante avec divers logiciels



A. Wächter and L. T. Biegler, *On the Implementation of a Primal-Dual Interior Point Filter Line Search Algorithm for Large-Scale Nonlinear Programming*, *Mathematical Programming* 106(1), pp. 25-57, 2006.

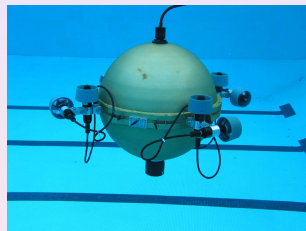


Denis Polson



Sous-marin autonome

- Opéré par le *Autonomous Systems Lab* à l'Université d'Hawaï
- corps sphérique de 65 cm de diamètre
- 8 moteurs (4 hor./4 vert.)
- Masse ≈ 127 kg (0.3 kg Archimède)
- 6 degrés de liberté \Rightarrow très manœuvrable



Modélisation

- Position et orientation $\eta = (x, y, z, \phi, \theta, \psi)^t$ dans repère inertiel.
- Repère mobile attaché au centre de gravité du corps rigide.
- Vitesses translationelles $\nu = (u, v, w)^t$ et angulaires $\Omega = (p, q, r)^t$ dans le repère mobile.
- Dynamique des vitesses:

$$\dot{\eta} = \begin{pmatrix} R & 0 \\ 0 & \Theta_1 \end{pmatrix} \begin{pmatrix} \nu \\ \Omega \end{pmatrix}$$

- Dynamique des accélérations:

$$\begin{aligned} M\dot{\nu} &= M\nu \times \Omega + D_\nu(\nu) + R^t B + \varphi_\nu \\ J\dot{\Omega} &= J\Omega \times \Omega + M\nu \times \nu - r_{CB} \times R^t B \\ &+ D_\Omega(\Omega) + \tau_\Omega \end{aligned}$$

- Contrôles φ_ν et τ_Ω résultantes de l'action des 8 moteurs.



Modélisation

- Position et orientation $\eta = (x, y, z, \phi, \theta, \psi)^t$ dans repère inertiel.
- Repère mobile attaché au centre de gravité du corps rigide.
- Vitesses translationelles $\nu = (u, v, w)^t$ et angulaires $\Omega = (p, q, r)^t$ dans le repère mobile.
- Dynamique des vitesses:

$$\dot{\eta} = \begin{pmatrix} R & 0 \\ 0 & \Theta_1 \end{pmatrix} \begin{pmatrix} \nu \\ \Omega \end{pmatrix}$$

- Dynamique des accélérations:

$$\begin{aligned} M\dot{\nu} &= M\nu \times \Omega + D_\nu(\nu) + R^t B + \varphi_\nu \\ J\dot{\Omega} &= J\Omega \times \Omega + M\nu \times \nu - r_{CB} \times R^t B \\ &+ D_\Omega(\Omega) + \tau_\Omega \end{aligned}$$

- Contrôles φ_ν et τ_Ω résultantes de l'action des 8 moteurs.



Modélisation

- Position et orientation $\eta = (x, y, z, \phi, \theta, \psi)^t$ dans repère inertiel.
- Repère mobile attaché au centre de gravité du corps rigide.
- Vitesses translationnelles $\nu = (u, v, w)^t$ et angulaires $\Omega = (p, q, r)^t$ dans le repère mobile.
- Dynamique des vitesses:

$$\dot{\eta} = \begin{pmatrix} R & 0 \\ 0 & \Theta_1 \end{pmatrix} \begin{pmatrix} \nu \\ \Omega \end{pmatrix}$$

- Dynamique des accélérations:

$$\begin{aligned} M\dot{\nu} &= M\nu \times \Omega + D_\nu(\nu) + R^t B + \varphi_\nu \\ J\dot{\Omega} &= J\Omega \times \Omega + M\nu \times \nu - r_{CB} \times R^t B \\ &+ D_\Omega(\Omega) + \tau_\Omega \end{aligned}$$

- Contrôles φ_ν et τ_Ω résultantes de l'action des 8 moteurs.



Modélisation

- Position et orientation $\eta = (x, y, z, \phi, \theta, \psi)^t$ dans repère inertiel.
- Repère mobile attaché au centre de gravité du corps rigide.
- Vitesses translationnelles $\nu = (u, v, w)^t$ et angulaires $\Omega = (p, q, r)^t$ dans le repère mobile.
- Dynamique des vitesses:

$$\dot{\eta} = \begin{pmatrix} R & 0 \\ 0 & \Theta_1 \end{pmatrix} \begin{pmatrix} \nu \\ \Omega \end{pmatrix}$$

- Dynamique des accélérations:

$$\begin{aligned} M\dot{\nu} &= M\nu \times \Omega + D_\nu(\nu) + R^t B + \varphi_\nu \\ J\dot{\Omega} &= J\Omega \times \Omega + M\nu \times \nu - r_{CB} \times R^t B \\ &+ D_\Omega(\Omega) + \tau_\Omega \end{aligned}$$

- Contrôles φ_ν et τ_Ω résultantes de l'action des 8 moteurs.



Modélisation

- Position et orientation $\eta = (x, y, z, \phi, \theta, \psi)^t$ dans repère inertiel.
- Repère mobile attaché au centre de gravité du corps rigide.
- Vitesses translationnelles $\nu = (u, v, w)^t$ et angulaires $\Omega = (p, q, r)^t$ dans le repère mobile.
- Dynamique des vitesses:

$$\dot{\eta} = \begin{pmatrix} R & 0 \\ 0 & \Theta_1 \end{pmatrix} \begin{pmatrix} \nu \\ \Omega \end{pmatrix}$$

- Dynamique des accélérations:

$$\begin{aligned} M\dot{\nu} &= M\nu \times \Omega + D_\nu(\nu) + R^t B + \varphi_\nu \\ J\dot{\Omega} &= J\Omega \times \Omega + M\nu \times \nu - r_{CB} \times R^t B \\ &+ D_\Omega(\Omega) + \tau_\Omega \end{aligned}$$

- Contrôles φ_ν et τ_Ω résultantes de l'action des 8 moteurs.



Modélisation

- Position et orientation $\eta = (x, y, z, \phi, \theta, \psi)^t$ dans repère inertiel.
- Repère mobile attaché au centre de gravité du corps rigide.
- Vitesses translationnelles $\nu = (u, v, w)^t$ et angulaires $\Omega = (p, q, r)^t$ dans le repère mobile.
- Dynamique des vitesses:

$$\dot{\eta} = \begin{pmatrix} R & 0 \\ 0 & \Theta_1 \end{pmatrix} \begin{pmatrix} \nu \\ \Omega \end{pmatrix}$$

- Dynamique des accélérations:

$$\begin{aligned} M\dot{\nu} &= M\nu \times \Omega + D_\nu(\nu) + R^t B + \varphi_\nu \\ J\dot{\Omega} &= J\Omega \times \Omega + M\nu \times \nu - r_{CB} \times R^t B \\ &+ D_\Omega(\Omega) + \tau_\Omega \end{aligned}$$

- Contrôles φ_ν et τ_Ω résultantes de l'action des 8 moteurs.



Critère

Problème de contrôle optimal

- Les critères intéressants sont typiquement la minimisation du temps de transfert ou la minimisation de la consommation pour aller d'un état à un autre.
- On obtient un problème de contrôle optimale de la forme:

$$(OCP) \begin{cases} \min_{\varphi_\nu, \tau_\Omega} t_f \text{ (ou consommation)} \\ \dot{\chi}(t) = f(\chi, \varphi_\nu, \tau_\Omega), \forall t \in [0, t_f] \\ \chi(0) = \chi_0 \\ \text{tq. } \chi(t_f) = \chi_f \\ (\varphi_\nu(t), \tau_\Omega) \in TCM \cdot (\prod_{i=1}^8 [\alpha_i, \beta_i]) \in \mathbb{R}^6 \end{cases}$$

avec $\chi = (\eta_1, \eta_2, \nu, \Omega) \in \mathbb{R}^{12}$ l'état.

Critère

Problème de contrôle optimal

- Les critères intéressants sont typiquement la minimisation du temps de transfert ou la minimisation de la consommation pour aller d'un état à un autre.
- On obtient un problème de contrôle optimale de la forme:

$$(OCP) \begin{cases} \min_{\varphi_\nu, \tau_\Omega} t_f \text{ (ou consommation)} \\ \dot{\chi}(t) = f(\chi, \varphi_\nu, \tau_\Omega), \forall t \in [0, t_f] \\ \chi(0) = \chi_0 \\ \text{tq. } \chi(t_f) = \chi_f \\ (\varphi_\nu(t), \tau_\Omega) \in TCM \cdot (\prod_{i=1}^8 [\alpha_i, \beta_i]) \in \mathbf{R}^6 \end{cases}$$

avec $\chi = (\eta_1, \eta_2, \nu, \Omega) \in \mathbf{R}^{12}$ l'état.

Discrétisations

(OCP) n'est pas un problème d'optimisation, mais on peut l'approximer comme tel.

Première discrétisation

- On discrétise l'état $\chi(\cdot)$ et les contrôles φ_ν et τ_Ω :

$$\Rightarrow \chi_i, \varphi_{\nu,i}, \tau_{\Omega,i}, i = 1, \dots, N$$

(12 + 6) * N inconnues

- On réécrit la dynamique comme des contraintes reliant un point de la discrétisation au suivant: par exemple avec un schéma tout simple d'Euler.
- Les contraintes initiales et finales sont sous la bonne forme

Discrétisation en contrôle

Ne discrétiser que les contrôles φ_ν et τ_Ω et intégrer la dynamique à partir de χ_0 .



Discrétisations

(OCP) n'est pas un problème d'optimisation, mais on peut l'approximer comme tel.

Première discrétisation

- On discrétise l'état $\chi(\cdot)$ et les contrôles φ_ν et τ_Ω :

$$\Rightarrow \chi_i, \varphi_{\nu,i}, \tau_{\Omega,i}, i = 1, \dots, N$$

(12 + 6) * N inconnues

- On réécrit la dynamique comme des contraintes reliant un point de la discrétisation au suivant: par exemple avec un schéma tout simple d'Euler.
- Les contraintes initiales et finales sont sous la bonne forme

Discrétisation en contrôle

Ne discrétiser que les contrôles φ_ν et τ_Ω et intégrer la dynamique à partir de χ_0 .



Discrétisations

(OCP) n'est pas un problème d'optimisation, mais on peut l'approximer comme tel.

Première discrétisation

- On discrétise l'état $\chi(\cdot)$ et les contrôles φ_ν et τ_Ω :

$$\Rightarrow \chi_i, \varphi_{\nu,i}, \tau_{\Omega,i}, i = 1, \dots, N$$

(12 + 6) * N inconnues

- On réécrit la dynamique comme des contraintes reliant un point de la discrétisation au suivant: par exemple avec un schéma tout simple d'Euler.
- Les contraintes initiales et finales sont sous la bonne forme

Discrétisation en contrôle

Ne discrétiser que les contrôles φ_ν et τ_Ω et intégrer la dynamique à partir de χ_0 .

- On diminue la taille du problème d'optimisation réduite (6 * N au lieu de 18 * N) et uniquement 12 contraintes qui correspondent à $\chi(1) = \chi_1$.



Discrétisations

(OCP) n'est pas un problème d'optimisation, mais on peut l'approximer comme tel.

Première discrétisation

- On discrétise l'état $\chi(\cdot)$ et les contrôles φ_ν et τ_Ω :

$$\Rightarrow \chi_i, \varphi_{\nu,i}, \tau_{\Omega,i}, i = 1, \dots, N$$

(12 + 6) * N inconnues

- On réécrit la dynamique comme des contraintes reliant un point de la discrétisation au suivant: par exemple avec un schéma tout simple d'Euler.
- Les contraintes initiales et finales sont sous la bonne forme

Discrétisation en contrôle

Ne discrétiser que les contrôles φ_ν et τ_Ω et intégrer la dynamique à partir de χ_0 .

- **Avantage** : taille du problème d'optimisation réduite (6 * N au lieu de 18 * N et uniquement 12 contraintes qui correspondent à $\chi(t_i) = \chi_i$).
- **Inconvénient** : les 12 contraintes sont extrêmement non linéaire, l'optimisation devient beaucoup moins robuste.
- On utilise cette approche par exemple si on veut restreindre le nombre de commutations des contrôles (contrainte opérationnelle du véhicule).



Discrétisations

(OCP) n'est pas un problème d'optimisation, mais on peut l'approximer comme tel.

Première discrétisation

- On discrétise l'état $\chi(\cdot)$ et les contrôles φ_ν et τ_Ω :

$$\Rightarrow \chi_i, \varphi_{\nu,i}, \tau_{\Omega,i}, i = 1, \dots, N$$

(12 + 6) * N inconnues

- On réécrit la dynamique comme des contraintes reliant un point de la discrétisation au suivant: par exemple avec un schéma tout simple d'Euler.
- Les contraintes initiales et finales sont sous la bonne forme

Discrétisation en contrôle

Ne discrétiser que les contrôles φ_ν et τ_Ω et intégrer la dynamique à partir de χ_0 .

- Avantage** : taille du problème d'optimisation réduite (6 * N au lieu de 18 * N et uniquement 12 contraintes qui correspondent à $\chi(t_f) = \chi_f$).
- Inconvénient** : les 12 contraintes sont extrêmement non linéaire, l'optimisation devient beaucoup moins robuste.
- On utilise cette approche par exemple si on veut restreindre le nombre de commutations des contrôles (contrainte opérationnelle du véhicule).



Discrétisations

(OCP) n'est pas un problème d'optimisation, mais on peut l'approximer comme tel.

Première discrétisation

- On discrétise l'état $\chi(\cdot)$ et les contrôles φ_ν et τ_Ω :

$$\Rightarrow \chi_i, \varphi_{\nu,i}, \tau_{\Omega,i}, i = 1, \dots, N$$

(12 + 6) * N inconnues

- On réécrit la dynamique comme des contraintes reliant un point de la discrétisation au suivant: par exemple avec un schéma tout simple d'Euler.
- Les contraintes initiales et finales sont sous la bonne forme

Discrétisation en contrôle

Ne discrétiser que les contrôles φ_ν et τ_Ω et intégrer la dynamique à partir de χ_0 .

- **Avantage** : taille du problème d'optimisation réduite (6 * N au lieu de 18 * N et uniquement 12 contraintes qui correspondent à $\chi(t_f) = \chi_f$).
- **Inconvénient** : les 12 contraintes sont extrêmement non linéaire, l'optimisation devient beaucoup moins robuste.
- On utilise cette approche par exemple si on veut restreindre le nombre de commutations des contrôles (contrainte opérationnelle du véhicule).



Discrétisations

(OCP) n'est pas un problème d'optimisation, mais on peut l'approximer comme tel.

Première discrétisation

- On discrétise l'état $\chi(\cdot)$ et les contrôles φ_ν et τ_Ω :

$$\Rightarrow \chi_i, \varphi_{\nu,i}, \tau_{\Omega,i}, i = 1, \dots, N$$

(12 + 6) * N inconnues

- On réécrit la dynamique comme des contraintes reliant un point de la discrétisation au suivant: par exemple avec un schéma tout simple d'Euler.
- Les contraintes initiales et finales sont sous la bonne forme

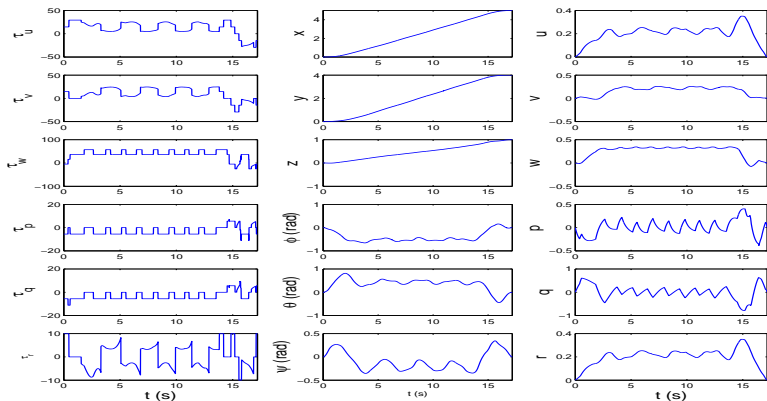
Discrétisation en contrôle

Ne discrétiser que les contrôles φ_ν et τ_Ω et intégrer la dynamique à partir de χ_0 .

- Avantage** : taille du problème d'optimisation réduite (6 * N au lieu de 18 * N et uniquement 12 contraintes qui correspondent à $\chi(t_f) = \chi_f$).
- Inconvénient** : les 12 contraintes sont extrêmement non linéaire, l'optimisation devient beaucoup moins robuste.
- On utilise cette approche par exemple si on veut restreindre le nombre de commutations des contrôles (contrainte opérationnelle du véhicule).

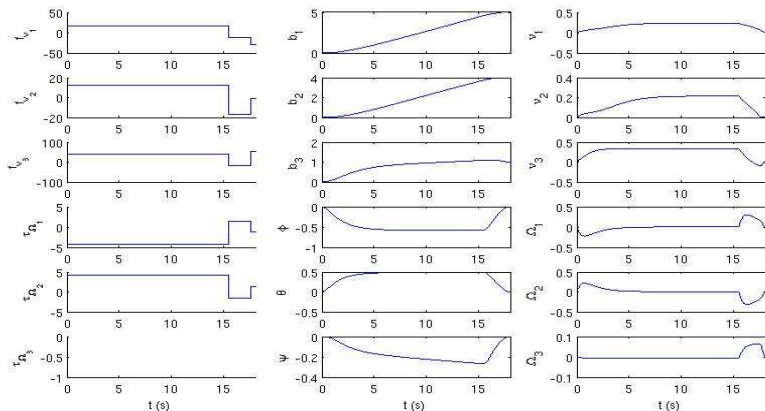


Solution en temps minimum, $\chi_f = (5, 4, 1, 0, \dots, 0)$



- Beaucoup de commutations.
- Une dizaine de minutes avec *IpOpt*.

Limitation du nombre de commutations



- 2 temps de commutation mais $t_f \approx t_f^{\min}$
- Quelques secondes avec *IpOpt*.